



EVOLVING SECRET SHARING:

distribuire segreti in un mondo che cambia

Scuola Ortogonale, Il ciclo

GIANFRANCO VITIELLO (Università degli Studi di Salerno)

Mentore: Prof. ROBERTO DE PRISCO

IV Weekend Ortogonale, Procida 14-17 Maggio 2026



elicsir

Elevating Italian Computer Science
Innovation and Research



Table of Contents

1 Concetti preliminari

- ▶ Concetti preliminari
- ▶ Evolving secret-sharing
- ▶ Conclusioni



Formalizzazione

1 Concetti preliminari

Definizione

Uno schema di secret sharing Π , sull'insieme di partecipanti \mathcal{P}_n , e sull'insieme di segreti \mathcal{S} (con $|\mathcal{S}| \geq 2$) è una coppia di algoritmi PPT $(Share, Recon)$ tale che:

Share:

Input: $s \in \mathcal{S}$

Output: sh_1, \dots, sh_n

Recon:

Input: $\{sh_i\}_{i \in A}$, con $A \subseteq \mathcal{P}_n$

Output: $s' \in \mathcal{S}$ tale che **correttezza** e **sicurezza** soddisfatte.



Insiemi qualificati e struttura di accesso

1 Concetti preliminari

Un sottoinsieme di partecipanti A si dice **qualificato** se abilitato al recupero della chiave s con gli share di cui dispone; altrimenti, viene detto **non qualificato**.

Definizione

Una **struttura di accesso** $\mathcal{A} \subset 2^{\mathcal{P}_n}$ è la collezione di tutti i sottoinsiemi qualificati.

NOTA: nel seguito della trattazione verranno considerate solo strutture di accesso **monotone**.



Correttezza

1 Concetti preliminari

Definizione

Per ogni segreto $s \in \mathcal{S}$ e per ogni insieme qualificato $A \in \mathcal{A}$, risulta

$$\text{Recon}(\{sh_i\}_{i \in A}) = s$$



Sicurezza

1 Concetti preliminari

Quanto alla proprietà di sicurezza, ci sono diverse nozioni della stessa.

Sicurezza perfetta

Per ogni sottoinsieme **non qualificato** $B \notin \mathcal{A}$ e per ogni coppia di segreti $s_1, s_2 \in \mathcal{S}$, la distribuzione di probabilità $\{sh_i^1\}_{i \in B}$ e $\{sh_i^2\}_{i \in B}$ sui corrispondenti segreti è la stessa.

Sicurezza computazionale

Per ogni sottoinsieme **non qualificato** $B \notin \mathcal{A}$ e per ogni coppia di segreti $s_1, s_2 \in \mathcal{S}$, la distribuzione di probabilità $\{sh_i^1\}_{i \in B}$ e $\{sh_i^2\}_{i \in B}$ sui corrispondenti segreti è la stessa a meno di un fattore trascurabile.



Esempio semplice: Secret-sharing additivo

1 Concetti preliminari

Costruzione

Sia s il segreto che si vuole condividere ed sia n il numero di partecipanti. Il dealer darà al partecipante P_i lo share r_i scelto uniformemente a caso in \mathbb{Z} per $i = 1, \dots, n - 1$; P_n , invece, riceverà:

$$r_n = s - \sum_{i=1}^{n-1} r_i$$



Schemi a soglia

1 Concetti preliminari

Il secret-sharing additivo non è altro che un caso specifico degli schemi a soglia, introdotti da Shamir nel 1979.

Costruzione p.1

Share: prende il input il segreto s , il numero di partecipanti n e la soglia t . Sceglie un polinomio $f(x)$ di grado $t - 1$, a coefficienti in \mathbb{Z}_p e tale che $f(0) = s$:

$$f(x) = s + r_1x + r_2x^2 + \dots + r_{t-1}x^{t-1}$$

dove r_1, r_2, \dots, r_{t-1} sono scelti uniformemente a caso in \mathbb{Z}_p , con p primo sufficientemente grande. P_i riceve lo share:

$$r_i = f(i) \quad \text{per } i = 1, \dots, n$$



Schemi a soglia

1 Concetti preliminari

Costruzione p.2

Recon: prende in input un insieme di share S . Se $|S| < t$, restituisce \perp ; altrimenti, ricostruisce s tramite interpolazione di Lagrange:

$$s = \sum_{j=1}^t r_{i_j} \prod_{\substack{k=1 \\ k \neq j}}^t \frac{i_k}{i_k - i_j} \pmod{p}$$



Struttura di accesso generale

1 Concetti preliminari

Nel 1996, Ito et al. dimostrarono il seguente risultato.

Teorema

Sia \mathcal{P}_n un insieme di partecipanti. Per ogni $\mathcal{U} \subseteq 2^{\mathcal{P}_n}$ tale che:

$$A \in \mathcal{U}, \quad A \subseteq A' \subseteq \mathcal{P}_n \Rightarrow A' \in \mathcal{U}$$

esiste uno schema di secret-sharing con struttura di accesso \mathcal{U} .



Problema

1 Concetti preliminari

Domanda: come si misura l'efficienza di uno schema di secret sharing?

Risposta: rapportando la dimensione dello share massimo rispetto a quella del segreto (in bit). Idealmente, tale valore è 1.



Tipologie

1 Concetti preliminari

Un criterio di classificazione degli schemi di secret-sharing riguarda le garanzie di sicurezza che si vogliono ottenere:

- perfectly private secret sharing;
- computationally private secret sharing;
- ramp secret sharing;
- robust secret-sharing;
- verifiable secret-sharing.



Table of Contents

2 Evolving secret-sharing

- ▶ Concetti preliminari
- ▶ Evolving secret-sharing
- ▶ Conclusioni



Evolving access structure

2 Evolving secret-sharing

Definizione informale

Una struttura di accesso in evoluzione $\mathcal{A} \subset 2^{\mathcal{P}_n}$ è una collezione (anche infinita) di sottoinsiemi di \mathcal{P}_n , il quale nel tempo aumenta di cardinalità.

Anche in questo scenario è possibile definire schemi a soglia.



Problema

2 Evolving secret-sharing

Domanda: se il numero di partecipanti non è noto a priori, come si può determinare l'efficienza di uno schema *evolving*?

Risposta: calcolando la dimensione dello in funzione di t (prossimo partecipante).



Strutture di accesso (k, ∞)

2 Evolving secret-sharing

Komargodski et al. hanno dimostrato il seguente:

Teorema

Per ogni $k, l \in \mathbb{N}$, esiste uno schema di secret sharing per strutture di accesso evolving con soglia k e lunghezza del segreto l bit in cui per ogni $t \in \mathbb{N}$ la dimensione dello share del t -esimo partecipante è:

$$(k - 1) \cdot \log_2 t + \text{poly}(k, l) \cdot o(\log_2 t)$$



Strutture di accesso $(2, \infty)$

2 Evolving secret-sharing

Per strutture di accesso $(2, \infty)$ con $|\mathcal{S}| \geq 2$ bit, Komargodski et al. hanno provato:

Teorema (Upper Bound)

Esiste uno schema di secret sharing per strutture di accesso $(2, \infty)$ in cui la dimensione dello share del t -esimo partecipante è superiormente limitata da:

$$\log_2 t + \log_2 \log_2 t + 2 \cdot \log_2 \log_2 \log_2 t + 6$$

Inoltre, gli stessi autori hanno dimostrato un lower bound di $\log_2 t + \log_2 \log_2 t - O(1)$, rendendo la costruzione **quasi ottimale**.



Strutture di accesso $(3, \infty)$

2 Evolving secret-sharing

Quindi, stando al teorema esposto poc'anzi, per schemi $(3, \infty)$ la dimensione dello share del t -esimo partecipante risulta:

$$2 \cdot \log_2 t + \text{poly}(3, l) \cdot o(\log_2 t)$$

Domanda: È possibile fare di meglio?



Risposta

2 Evolving secret-sharing





Schema di secret-sharing $(3, \infty)$

2 Evolving secret-sharing

Costruzione p.1

Sia s il segreto che si vuole condividere, e siano $r_i^{\{i\}}$ e $r_i^{\{i,k\}}$, per $i = 1, 2, \dots$ e $k = 1, \dots, i - 1$ valori uniformi. I partecipanti, nel momento in cui entrano a far parte dello schema, ottengono uno share in accordo alla seguente regola di distribuzione:



Schema di secret-sharing $(3, \infty)$

2 Evolving secret-sharing

Costruzione p.2

$$p_1 \leftarrow r_1^{\{1\}}$$

$$p_2 \leftarrow r_2^{\{2\}}, r_2^{\{1,2\}}$$

$$p_3 \leftarrow r_1^{\{1\}} \oplus r_2^{\{1,2\}} \oplus s, r_3^{\{3\}}, r_3^{\{1,3\}}, r_3^{\{2,3\}}$$

$$p_4 \leftarrow r_1^{\{1\}} \oplus r_2^{\{1,2\}} \oplus s, r_1^{\{1\}} \oplus r_3^{\{1,3\}} \oplus s, r_2^{\{2\}} \oplus r_3^{\{2,3\}} \oplus s, r_4^{\{4\}}, r_4^{\{1,4\}}, r_4^{\{2,4\}}, r_4^{\{3,4\}}$$

...

$$p_i \leftarrow \{r_j^{\{j\}} \oplus r_k^{\{j,k\}} \oplus s\}, \text{ per } j < k < i, r_i^{\{i\}} \text{ e } r_i^{\{i,j\}}, \text{ per } j < i.$$



Problema

2 Evolving secret-sharing

La lunghezza dello share cresce quadraticamente in base al numero di n di partecipanti:
per niente efficiente.

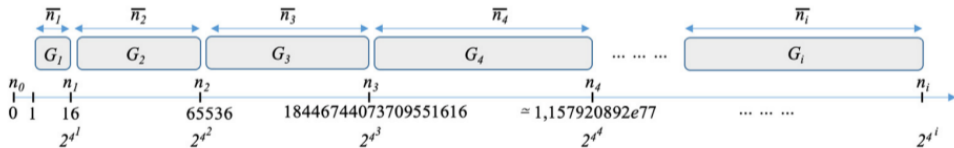
Intuizione: usare questo schema come building block per un nuovo schema.



Idea

2 Evolving secret-sharing

Dividere i partecipanti per generazioni in base al momento in cui entrano a far parte dello schema. La generazione i -esima verrà indicata con G^i , per $i \geq 1$. Sia $n_0 = 0$ ed $n_i = 2^{4^i}$: la generazione G^i parte dal partecipante $n_{i-1} + 1$ e termina con il partecipante n_i . Quindi, si indicherà con $\bar{n}_i = n_i - n_{i-1}$ la cardinalità della generazione i -esima. Graficamente:





Proposta

2 Evolving secret-sharing

È possibile definire un nuovo schema con evolving access structure (più efficiente) basato su due schemi di secret-sharing:

- \mathcal{S}^∞ , visto poc'anzi;
- \mathcal{S}^i , schema per strutture di accesso di dimensione fissata $(3, N^i)$, con $N^i = \bar{n}_i + 1$, per $i \geq 1$.



Schema di Asmuth-Bloom

2 Evolving secret-sharing

Costruzione

Siano p_0, p_1, p_{N^i} primi pubblici tali che $p_{N^i} \cdot \dots \cdot p_{N^i-k} \cdot p_0 < p_1 \cdot \dots \cdot p_k$.

Share: su input $s \in \mathbb{Z}_{p_0}$, calcola un intervallo I , sceglie uniformemente a caso α tale che $s' = \alpha \cdot s \in I$. Dà in output $sh_j = s' \pmod{p_j}$ per $j = 1, \dots, N^i$;

Recon: su input $\{sh_j\}_{j \in A}$, risolve

$$\begin{cases} x \equiv sh_1 \pmod{p_1} \\ \vdots \\ x \equiv sh_{N^i} \pmod{p_{N^i}} \end{cases}$$

e dà in output la soluzione $s = x \pmod{p_0}$;



Schema finale

2 Evolving secret-sharing

Intuizioni fondamentali:

1. ad ogni generazione g viene associato un valore pseudocasuale RS^g ;
2. per ogni generazione, si genera uno share in più da tramandare a tutti i partecipanti delle generazioni successive.



Descrizione formale

2 Evolving secret-sharing

Sia $g(n)$ la funzione di membership che su input n ne restituisce la generazione di appartenenza.

Costruzione p.1

Share: su input $s \in S$ e le stringhe casuali $RS^1, RS^2, \dots, RS^{g-1}$, calcola:

- lo share sh_g^∞ usando l'algoritmo *Share* di S^∞ ;
- gli share $sh_1^g, sh_2^g, \dots, sh_{n_g}^g, sh_E^g$ usando l'algoritmo *Share* di S^g ;
- gli share mascherati $RS^j \oplus sh_E^g$, per $j = 1, \dots, g - 1$;
- una stringa casuale RS^g .



Composizione dello share

2 Evolving secret-sharing

Sia t il t -esimo partecipante, la cui generazione è $g = \lceil \log_4(\log t) \rceil$ e il cui indice generazionale è i . Lo share di t è costituito da cinque parti:

P1: sh_g^∞ ;

P2: $sh_E^1, sh_E^2, \dots, sh_E^{g-1}$;

P3: sh_i^g ;

P4: $RS^1 \oplus sh_E^g, RS^2 \oplus sh_E^{g_j}, \dots, RS^{g-1} \oplus sh_E^g$;

P5: RS^g .

NOTA: per $g = 1$, **P2** e **P4** assenti.



Descrizione formale

2 Evolving secret-sharing

Costruzione p.2

Recon: su input $A \subseteq \mathcal{P}_t$ restituisce un segreto $s' \in S$ in accordo alle proprietà di **correttezza** e **sicurezza**.

NOTA: se A è un sottoinsieme qualificato, sono possibili quattro scenari per la ricostruzione del segreto.



Ricostruzione

2 Evolving secret-sharing

Siano t_1, t_2, t_3 elementi di \mathcal{P}_n

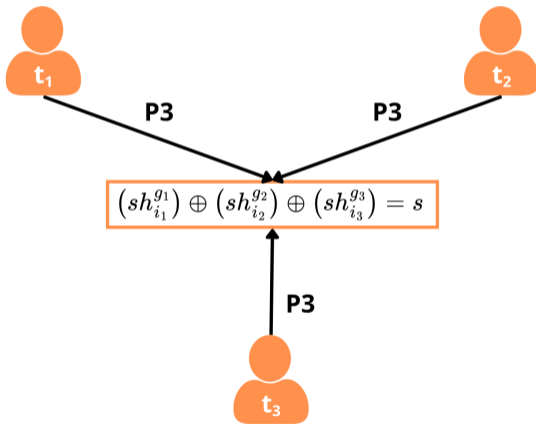
Scenario 1: $g(t_1) = g(t_2) = g(t_3)$

LEGENDA:

i_1 = indice associato a t_1 nella propria generazione $g(t_1) = g_1$

i_2 = indice associato a t_2 nella propria generazione $g(t_2) = g_2$

i_3 = indice associato a t_3 nella propria generazione $g(t_3) = g_3$





Ricostruzione

2 Evolving secret-sharing

Siano t_1, t_2, t_3 elementi di \mathcal{P}_n

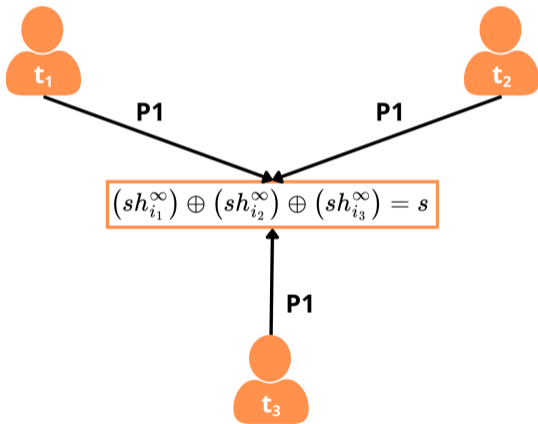
Scenario 2: $g(t_1) \neq g(t_2) \neq g(t_3)$

LEGENDA:

i_1 = indice associato a t_1 nella propria generazione $g(t_1) = g_1$

i_2 = indice associato a t_2 nella propria generazione $g(t_2) = g_2$

i_3 = indice associato a t_3 nella propria generazione $g(t_3) = g_3$





Ricostruzione

2 Evolving secret-sharing

Siano t_1, t_2, t_3 elementi di \mathcal{P}_n

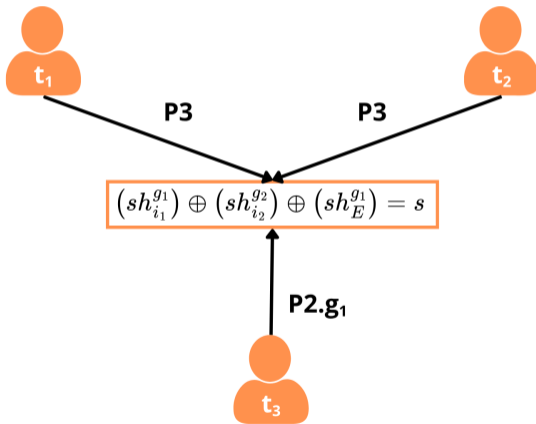
Scenario 3: $g(t_1) = g(t_2) \neq g(t_3)$

LEGENDA:

i_1 = indice associato a t_1 nella propria generazione $g(t_1) = g_1$

i_2 = indice associato a t_2 nella propria generazione $g(t_2) = g_2$

i_3 = indice associato a t_3 nella propria generazione $g(t_3) = g_3$





Ricostruzione

2 Evolving secret-sharing

Siano t_1, t_2, t_3 elementi di \mathcal{P}_n

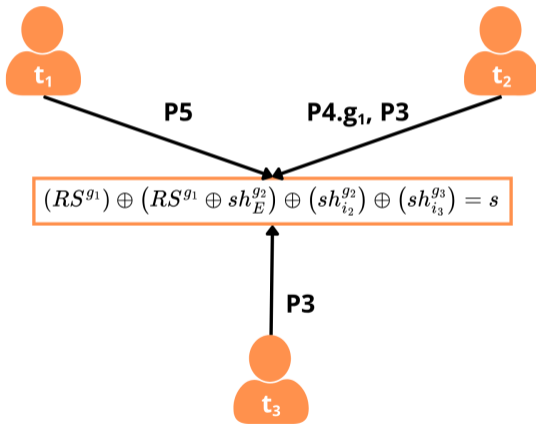
Scenario 4: $g(t_1) \neq g(t_2) = g(t_3)$

LEGENDA:

i_1 = indice associato a t_1 nella propria generazione $g(t_1) = g_1$

i_2 = indice associato a t_2 nella propria generazione $g(t_2) = g_2$

i_3 = indice associato a t_3 nella propria generazione $g(t_3) = g_3$





Sicurezza

2 Evolving secret-sharing

Grazie ai seguenti fattori:

1. uso della casualità;
2. sicurezza dello schema $(3, \infty)$;
3. sicurezza dello schema $(3, N^i)$;
4. totale indipendenza dei due schemi;

si può dimostrare che un insieme proibito di dimensione massima (pari a 2), non è comunque in grado di ricavare informazioni circa il segreto.



Analisi della dimensione dello share

2 Evolving secret-sharing

La dimensione dello share per il t -esimo partecipante è al più:

$$c \cdot (\log_4 \log_2 t)^2 + (P1)$$

$$\frac{\sqrt[z]{4}}{3} \cdot \log_2 t + (P2)$$

$$\sqrt[z]{4} \cdot \log_2 t + (P3)$$

$$\log_2 p \cdot (\log_4 \log_2 t) \quad (P4 \text{ e } P5)$$

NOTA: z è la costante da cui dipende la dimensione dell'intervallo in cui cercare numeri primi, ragion per cui è nell'interesse del dealer sceglierlo grande.



Analisi della dimensione dello share

2 Evolving secret-sharing

Mettendo tutto assieme:

$$\frac{4}{3} \sqrt[3]{4} \log_2 t + c \cdot (\log_4 \log_2 t)^2 + \log_2 p \cdot (\log_4 \log_2 t)$$

dal teorema di Komargodski:

$$2 \cdot \log_2 t + \text{poly}(3, l) \cdot o(\log_2 t)$$



Analisi della dimensione dello share

2 Evolving secret-sharing

Mettendo tutto assieme:

$$\frac{4}{3} \sqrt[3]{4} \log_2 t + \cancel{c \cdot (\log_4 \log_2 t)^2} + \cancel{\log_2 p \cdot (\log_4 \log_2 t)}$$

dal teorema di Komargodski:

$$2 \cdot \log_2 t + \cancel{\text{poly}(3, 1)} \cdot \cancel{o(\log_2 t)}$$



Analisi della dimensione dello share

2 Evolving secret-sharing

Si supponga che:

$$\left(\frac{4}{3} \cdot \sqrt[z]{4}\right) \log_2 t < \left(\frac{4}{3} + \epsilon\right) \log_2 t$$

da cui:

$$\epsilon > \frac{4}{3} \cdot (\sqrt[z]{4} - 1)$$

per z tendente all'infinito:

$$\left(\frac{4}{3} + \epsilon\right) \log_2 t < 2 \cdot \log_2 t$$

(ad oggi ancora il miglior risultato disponibile per questa tipologia di schema)



Table of Contents

3 Conclusioni

▶ Concetti preliminari

▶ Evolving secret-sharing

▶ Conclusioni



Conclusioni

3 Conclusioni

Con questa presentazione abbiamo visto che:

- definizioni e proprietà generali di uno schema di secret-sharing;
- esempi di schemi con evolving access structure;
- stato dell'arte del $(3, \infty)$ secret sharing con annesso studio di correttezza e sicurezza.



Riferimenti

3 Conclusioni

- [1] A. Beimal, *Secret-Sharing Schemes: A Survey*, IWCC 2011, pp. 11-46;
- [2] D. R. Stinson, *An Explication of Secret Sharing Schemes*, Designs, Codes and Cryptography 1992, pp. 357-390;
- [3] A. Shamir, *How to Share a Secret*, Communications of the ACM 1979, Volume 22, No. 22, pp. 612-613;
- [4] S. Krenn and T. Lorünser, *An Introduction to Secret Sharing*, SpringerBriefs in Information Security and Cryptography 2023;
- [5] M. Ito et al., *Multiple Assignment Scheme for Sharing Secret*, Journal of Cryptology 1993, Volume 6, pp. 15-20;
- [6] I. Komargodski, *How to Share a Secret, Infinitely*, IEEE Transactions on Information Theory 2018, Volume 64, No. 6, pp. 4179-4190;
- [7] P. D'Arco et al., *Secret sharing schemes for infinite sets of participants: A new design technique*, Theoretical Computer Science 2011, pp. 149-161;
- [8] Q. Cheng et al., *A Construction of Evolving 3-threshold Secret Sharing Scheme with Perfect Security and Smaller Share Size*, arXiv:2410.13529v1, 17 October 2024;



EVOLVING SECRET SHARING

Grazie per l'attenzione!
Domande?